



UNIVERSIDADE ESTADUAL DE CAMPINAS
Faculdade de Engenharia Elétrica e de Computação

Pedro Henrique Neves dos Santos

IT306W - Fluxo de carga completo

Campinas
2020

Resumo

Há muitas décadas, a energia elétrica desempenha um papel vital na nossa sociedade. Desde necessidades mais simples, como iluminação pública, até necessidades mais complexas, como equipamentos médicos e indústrias inteiras, só são factíveis pois temos energia elétrica. E ela é estável.

Para que isso seja possível, é necessário alguma metodologia que nos forneça o estado atual do sistema para que se possa, então, atuar apropriadamente.

Neste trabalho faremos um estudo sobre sobre fluxo de potência, uma metodologia que nos fornece tensões nodais e ângulos de fase.

Os códigos fonte desse trabalho bem como histórico de modificação, podem ser encontrados no endereço: <https://github.com/phneves/ElectricPowerSystemsAnalysisTools>

Sumário

| | | |
|----------|---|-----------|
| 1 | Introdução e teoria | 4 |
| 1.1 | Modelagem | 4 |
| 1.2 | Formulação do problema básico | 5 |
| 1.2.1 | Injeção de potências | 5 |
| 1.2.2 | Matriz de Admitância | 6 |
| 1.3 | Formulação do método de Newton | 6 |
| 1.3.1 | Aplicação do método de Newton em problemas de Fluxo de Potência | 7 |
| 1.4 | Algoritmo implementado | 9 |
| 2 | Estudos de caso | 10 |
| 2.1 | Rede de 2 barras e 1 linha de transmissão | 10 |
| 2.1.1 | Equacionamento | 11 |
| 2.1.2 | Solução por software | 13 |
| 2.2 | Rede 14 bus IEEE | 15 |
| 2.2.1 | Entradas do software | 15 |
| 2.2.2 | Solução por software | 16 |
| 3 | Código comentado | 18 |
| 3.1 | Entradas e configurações | 18 |
| 3.2 | Subsistema 1 - Iterativo | 20 |
| 3.3 | Subsistema 2 - Cálculo de P_k e Q_k | 25 |
| 4 | Discussões e análise de resultados | 27 |
| 4.1 | Composição do trabalho | 27 |
| 4.2 | Performance | 27 |
| 4.3 | Trabalhos futuros | 28 |
| | Referências bibliográficas | 29 |

Capítulo 1

Introdução e teoria

A ferramenta de análise de sistemas de energia elétrica aqui discutida será a Análise de Fluxo de Potência. Essa análise nos fornecerá um método de cálculo de importantes grandezas de todo o sistema, a partir de algumas grandezas conhecidas, ou seja, que podem ser medidas. Esta é uma ferramenta aplicada a um sistema estático. (MONTICELLI, 1983)

1.1 Modelagem

Toda a rede será composta por ramos e barras, onde ramos são as representações das linhas de transmissão e transformadores. As barras são nós do sistema e nesses pontos de interesse, pode-se medir fisicamente algumas grandezas, a depender do tipo de barra. São definidas quatro variáveis para cada k -ésima barra, correspondentes à tensão e à injeção de potência nesta barra, V_k , magnitude da tensão nodal, θ_k ângulo da tensão nodal, P_k injeção líquida de potência ativa e Q_k injeção líquida de potência reativa. As barras são divididas em categorias como na tabela 1.1 de acordo com as grandezas conhecidas e suas incógnitas.

Tabela 1.1: Categoria das barras de acordo com variáveis conhecidas

| Tipo | Dados | Incógnitas | Características |
|--------------------|-----------------|-----------------|--|
| PQ | P_k, Q_k | V_k, θ_k | Barra de carga |
| PV | P_k, V_k | Q_k, θ_k | Barra de geração |
| Referência (Slack) | V_k, θ_k | P_k, Q_k | Barra de geração em grandes fornecedoras |

1.2 Formulação do problema básico

1.2.1 Injeção de potências

Seja uma rede de energia genérica que contém um número de barras (NB) arbitrário. Para cada barra, é possível escrever duas equações de injeções de potência, como em 1.1 e 1.2. Elas são obtidas ao aplicar Lei de Kirchhoff das correntes em todas as NB barras do sistema.

$$P_k = V_k \sum_{m \in \kappa} V_m (G_{km} \cos \theta_{km} + B_{km} \sin \theta_{km}) \quad (1.1)$$

$$Q_k = V_k \sum_{m \in \kappa} V_m (G_{km} \sin \theta_{km} - B_{km} \cos \theta_{km}) \quad (1.2)$$

Portanto, em um sistema com NB barras, é possível obter $2.NB$ equações.

Neste problema, utilizaremos como variáveis de estado, ou seja, nosso conjunto de incógnitas que descreverão o sistema, as variáveis V e θ , representados em 1.3 e 1.4. Com esses valores resolvidos, é possível calcular todas as injeções de potência em todas as barras.

$$V^S = \begin{bmatrix} V_1^S & V_2^S & V_3^S & \dots & V_{NB}^S \end{bmatrix}^T \quad (1.3)$$

$$\theta^S = \begin{bmatrix} \theta_1^S & \theta_2^S & \theta_3^S & \dots & \theta_1^S \end{bmatrix}^T \quad (1.4)$$

Quando 1.3 e 1.4 forem resolvidas, será possível aplicar em 1.1 e 1.2 para se obter 1.5 e 1.6, que será as injeções de potência para o estado atual da rede.

$$P_k = V_k^S \sum_{m \in \kappa} V_m^S (G_{km} \cos \theta_{km}^S + B_{km} \sin \theta_{km}^S) \quad (1.5)$$

$$Q_k = V_k^S \sum_{m \in \kappa} V_m^S (G_{km} \sin \theta_{km}^S - B_{km} \cos \theta_{km}^S) \quad (1.6)$$

Problema consiste em obter o estado (V^S, θ^S) .

Com um simples algebrismo matemático, as equações 1.1 e 1.2 serão representadas aqui como em 1.7 e 1.8.

$$P_k - V_k \sum_{m \in \kappa} V_m (G_{km} \cos \theta_{km} + B_{km} \sin \theta_{km}) = 0 \quad (1.7)$$

$$Q_k - V_k \sum_{m \in \kappa} V_m (G_{km} \sin \theta_{km} - B_{km} \cos \theta_{km}) = 0 \quad (1.8)$$

1.2.2 Matriz de Admitância

Seja a matriz de admitância nodal Y e ela se relacione com o vetor de tensões nodais V e vetor de injeções de corrente nodais I da forma como em 1.9.

$$I = Y.V \quad (1.9)$$

A regra de formação dessa matriz Y será dada por 1.10 e 1.11 (A dedução desse conjunto de formulas não será abordado neste trabalho).

A dimensão da matriz Y será de $NB \times NB$.

Para os elementos fora da diagonal principal, será o valor negativo da admitância série entre as duas barras, como em 1.10.

$$Y_{km} = -y_{km} \quad (1.10)$$

Para os elementos na diagonal principal, será a soma das admitâncias conectadas à barra, como em 1.11, onde Ω_k é o conjunto de barras vizinhas da barra k .

$$Y_{kk} = \sum_{m \in \Omega_k} \left(y_{km} + j \frac{b_{km}^{sh}}{2} \right) \quad (1.11)$$

Ainda, a matriz Y será dividida em parte real (1.12) e parte imaginária (1.13). Dando origem às matrizes de condutância G e susceptância B , usadas nas equações de injeção de potência 1.1 e 1.2.

$$G = \mathbb{R}(Y) \quad (1.12)$$

$$B = \mathbb{I}(Y) \quad (1.13)$$

1.3 Formulação do método de Newton

O algoritmo de Newton é um método para calcular os zeros de funções reais de uma variável reais. Baseando em uma aproximação inicial arbitraria, $x^{(1)}$, tem-se 1.14 para $n > 1$. (UFRGS, Consultado em 05/2020)

$$x^{x+1} = x^n - \frac{f(x^{(n)})}{f'(x^{(N)})} = x^n - \Delta x \quad (1.14)$$

Fazendo $\Delta x = \frac{f(x^{(n)})}{f'(x^{(N)})}$

$$x^{x+1} = x^n - \Delta x \quad (1.15)$$

1.3.1 Aplicação do método de Newton em problemas de Fluxo de Potência

Para solucionar o problema do Fluxo de Potência utilizando o método de Newton, é necessário estabelecer equações que relacionem o problema na forma de $f(x) = 0$. A forma mais adequada, é utilizando as equações que modelam o balanceamento das injeções de potência 1.7 e 1.8, mas desta vez elas não vão a 0, pois ainda não estão resolvidas. Neste momento, igualaremos elas um Δ , que é tão próximo de 0 quanto se queira, como descrito nas equações 1.16 e 1.17.

$$\Delta P_k = P_k^{esp} - P_k^{calc}(V, \theta) = P_k^{esp} - V_k \sum_{m \in \kappa} V_m (G_{km} \cos \theta_{km} + B_{km} \sin \theta_{km}) \quad (1.16)$$

$$\Delta Q_k = Q_k^{esp} - Q_k^{calc}(V, \theta) = Q_k^{esp} - V_k \sum_{m \in \kappa} V_m (G_{km} \sin \theta_{km} - B_{km} \cos \theta_{km}) \quad (1.17)$$

Onde:

- $P_k^{esp} = P_k^G - P_k^C$ e $Q_k^{esp} = Q_k^G - Q_k^C$ que são os valores das injeções de potência ativa e reativa especificados para as barras.
- $P_k^{calc}(V, \theta)$ e $Q_k^{calc}(V, \theta)$ são calculados através das equações das potências nodais.
- ΔP_k e ΔQ_k são chamados de mismatches ou resíduos de potência ativa e reativa.

Em termos práticos, para a resolução do sistema de equações $g(x) = 0$ pelo método de Newton, é necessário a determinação do vetor de correção do estado Δx a cada iteração. Para cada iteração ν , Δx é obtido através de 1.18 e verificado se a convergência ocorreu, isto é, se $|\Delta x| < Tol$.

$$g(x^\nu) = -J(x^\nu) \cdot \Delta(x^\nu) \quad (1.18)$$

Onde:

$$g(x^\nu) = \begin{bmatrix} \Delta P^\nu \\ \Delta Q^\nu \end{bmatrix} \quad (1.19)$$

$$\Delta(x^\nu) = \begin{bmatrix} \Delta \theta^\nu \\ \Delta V^\nu \end{bmatrix} \quad (1.20)$$

$$J(x^v) = - \begin{bmatrix} \frac{\partial(P)}{\partial \theta} & \frac{\partial(P)}{\partial V} \\ \frac{\partial(Q)}{\partial \theta} & \frac{\partial(Q)}{\partial V} \end{bmatrix} \quad (1.21)$$

As submatrizes que compõem a matriz Jacobiana 1.21 são geralmente representadas por 1.22, 1.23, 1.24 e 1.25 e são obtidas equações das potências nodais 1.1 e 1.2

$$H = \frac{\partial(P)}{\partial \theta} \quad (1.22)$$

$$N = \frac{\partial(P)}{\partial V} \quad (1.23)$$

$$M = \frac{\partial(Q)}{\partial \theta} \quad (1.24)$$

$$L = \frac{\partial(Q)}{\partial V} \quad (1.25)$$

Resultando em 1.26.

$$\begin{bmatrix} \Delta P^v \\ \Delta Q^v \end{bmatrix} = \begin{bmatrix} H & N \\ M & L \end{bmatrix}^v \cdot \begin{bmatrix} \Delta \theta^v \\ \Delta V^v \end{bmatrix} \quad (1.26)$$

As matrizes H, N, M e L podem ter seus valores calculados utilizando as equações 1.27, 1.28, 1.29 e 1.30. (As deduções das matrizes H, N, M e L podem ser encontradas em livros didáticos e, portanto, serão omitidas neste trabalho).

$$\begin{cases} H_{kk} = \frac{\partial(P_k)}{\partial \theta_k} = -B_{kk} V_k^2 - V_k \sum_{m \in \kappa} V_m (G_{km} \sin \theta_{km} - B_{km} \cos \theta_{km}) \\ H_{km} = \frac{\partial(P_k)}{\partial \theta_m} = V_k V_m (G_{km} \sin \theta_{km} - B_{km} \cos \theta_{km}) \\ H_{mk} = \frac{\partial(P_k)}{\partial \theta_k} = -V_k V_m (G_{km} \sin \theta_{km} + B_{km} \cos \theta_{km}) \end{cases} \quad (1.27)$$

$$\begin{cases} N_{kk} = \frac{\partial(P_k)}{\partial V_k} = G_{kk} V_k \sum_{m \in \kappa} V_m (G_{km} \cos \theta_{km} + B_{km} \sin \theta_{km}) \\ N_{km} = \frac{\partial(P_k)}{\partial V_m} = V_k (G_{km} \cos \theta_{km} + B_{km} \sin \theta_{km}) \\ N_{mk} = \frac{\partial(P_m)}{\partial V_k} = V_m (G_{km} \cos \theta_{km} + B_{km} \sin \theta_{km}) \end{cases} \quad (1.28)$$

$$\begin{cases} M_{kk} = \frac{\partial(Q_k)}{\partial\theta_k} = -G_{kk}V_k^2 + V_k \sum_{m \in \kappa} V_m (G_{km} \cos\theta_{km} + B_{km} \sin\theta_{km}) \\ M_{km} = \frac{\partial(Q_k)}{\partial\theta_m} = -V_k V_m (G_{km} \cos\theta_{km} + B_{km} \sin\theta_{km}) \\ M_{mk} = \frac{\partial(Q_m)}{\partial\theta_k} = -V_k V_m (G_{km} \cos\theta_{km} - B_{km} \sin\theta_{km}) \end{cases} \quad (1.29)$$

$$\begin{cases} L_{kk} = \frac{\partial(Q_k)}{\partial V_k} = -B_{kk}V_k + \sum_{m \in \kappa} V_m (G_{km} \sin\theta_{km} - B_{km} \cos\theta_{km}) \\ L_{km} = \frac{\partial(Q_k)}{\partial V_m} = V_k (G_{km} \sin\theta_{km} - B_{km} \cos\theta_{km}) \\ L_{mk} = \frac{\partial(Q_m)}{\partial V_k} = -V_m (G_{km} \sin\theta_{km} + B_{km} \cos\theta_{km}) \end{cases} \quad (1.30)$$

1.4 Algoritmo implementado

Aqui será utilizado um algoritmo discutido nos slides do Professor Castro. (CASTRO, Consultado em 05/2020).

1. O contador de iterações é inicializado $\nu = 0$. Escolhe-se condições de contorno iniciais para as magnitudes das tensões nodais nas barras PQ e ângulos de fase das tensões nodais nas barras PQ e PV , onde não houver esse valor previamente estabelecido. O vetor x pode ser montado como em 1.31.

$$x = \begin{bmatrix} \theta^0 & V^0 \end{bmatrix}^T \quad (1.31)$$

2. Calcula-se $P_k(V_\nu, \theta)$ para as barras PQ e PV .
Calcula-se $Q_k(V_\nu, \theta_\nu)$ para as barras PQ . Calcula-se os respectivos mismatches de potência 1.20.
3. Testa-se a convergência: Se $\max\{|\Delta P_k^\nu|\}_{k=PQ, PV} \leq \epsilon P$ e $\max\{|\Delta Q_k^\nu|\}_{k=PQ} \leq \epsilon P$
Então processo iterativo convergiu para a solução $[\theta^\nu V^\nu]^T$. Pular para o passo 7.
Senão, prosseguir para passo 4.
4. Calcula-se a matriz Jacobiana como em 1.21
5. Calcula-se as correções resolvendo o sistema 1.26 e determina-se nova solução $(V^{\nu+1}, \theta^{\nu+1})$
6. Incrementa-se contador de iterações $\nu = \nu + 1$ e volta-se ao passo 2.
7. Calcula-se P_k para a barra de referência e Q_k para as barras de referência e PV .

Capítulo 2

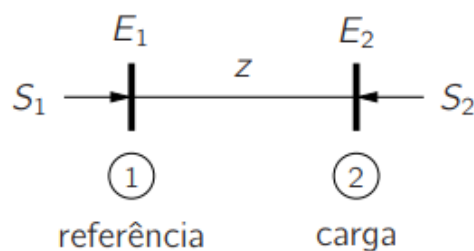
Estudos de caso

Neste capítulo, será estudado uma rede elementar de 2 barras e 1 linha de transmissão (na seção 2.1) e uma rede maior, de 14 barras e 20 ramos (na seção 2.2). Neste trabalho, a rede elementar tem um papel fundamental para compreensão de cada iteração do método, além de servir como calibração e teste para todas as modificações subsequentes. Para cada modificação no código de referência, ainda que pequena, deve ser retestado tendo a saída desta rede como parâmetro.

2.1 Rede de 2 barras e 1 linha de transmissão

Considere a rede de duas barras e uma linha de transmissão 2.1. Esse é o exemplo mais simples possível e foi apresentado e resolvido nos slides de aula.

Figura 2.1: Rede de duas barras e uma linha de transmissão



$$Dados \begin{cases} E_1 = 1,0112 \angle 0^\circ pu \\ z = 0,01 + j0,05 pu \\ S_2 = -(1,0 + j0) pu \end{cases} \quad (2.1)$$

2.1.1 Equacionamento

A matriz admitância será dada por 2.2, que foi calculado com as regras 1.10 e 1.11.

$$Y = \begin{bmatrix} 3,8462 - j19,2308 & -3,8462 + j19,2308 \\ -3,8462 + j19,2308 & 3,8462 - j19,2308 \end{bmatrix} \quad (2.2)$$

Portanto, tem-se as equações nodais P_2 e Q_2 em 2.3. As incógnitas são θ_2 e V_2

$$\begin{cases} P_2 = V_2 V_1 (G_{21} \cos \theta_{21} + B_{21} \sin \theta_{21}) + V_2^2 G_{22} \\ Q_2 = V_2 V_1 (G_{21} \sin \theta_{21} - B_{21} \cos \theta_{21}) - V_2^2 B_{22} \end{cases} \quad (2.3)$$

Portanto, as equações de fluxo serão 2.4

$$\begin{cases} P_2^{esp} - P_2 = -1 - P_2 = 0 \\ Q_2^{esp} - Q_2 = 0 - Q_2 = 0 \end{cases} \quad (2.4)$$

Por fim, monta-se as equações linearizadas de fluxo de carga em 2.5.

$$\begin{bmatrix} \Delta P_2 \\ \Delta Q_2 \end{bmatrix} = \begin{bmatrix} \frac{\partial(P_2)}{\partial \theta_2} & \frac{\partial(P_2)}{\partial V_2} \\ \frac{\partial(Q_2)}{\partial \theta_2} & \frac{\partial(Q_2)}{\partial V_2} \end{bmatrix} \cdot \begin{bmatrix} \Delta \theta_2 \\ \Delta V_2 \end{bmatrix} \quad (2.5)$$

Onde, a partir de 1.27, 1.28, 1.29 e 1.30, tem-se 2.6.

$$\begin{cases} \frac{\partial(P_2)}{\partial \theta_2} = -V_2 V_1 (G_{21} \sin \theta_{21} - B_{21} \cos \theta_{21}) \\ \frac{\partial(P_2)}{\partial V_2} = V_1 (G_{21} \cos \theta_{21} + B_{21} \sin \theta_{21}) + 2V_2 G_{22} \\ \frac{\partial(Q_2)}{\partial \theta_2} = V_2 V_1 (G_{21} \cos \theta_{21} + B_{21} \sin \theta_{21}) \\ \frac{\partial(Q_2)}{\partial V_2} = -V_1 (G_{21} \sin \theta_{21} - B_{21} \cos \theta_{21}) \end{cases} \quad (2.6)$$

Processo iterativo $\nu = 0$

Para a primeira iteração ($\nu = 0$), tem-se:

$$\begin{cases} V_2 = 1pu \\ \theta_2 = 0 \end{cases} \quad (2.7)$$

$$\begin{cases} P_2 = -0,0431 \\ \Delta P_2 = -0,9569 \\ Q_2 = -0,2154 \\ \Delta Q_2 = 0,2154 \end{cases} \quad (2.8)$$

Como os mismatches ainda são maiores que a tolerância, atualiza-se o estado, incrementa-se $\nu = \nu + 1$. A nova matriz Jacobiana ficará com 2.9.

$$J = \begin{bmatrix} 19,4462 & 3,8031 \\ -3,8031 & 19,0154 \end{bmatrix} \quad (2.9)$$

Processo iterativo $\nu = 1$

Para a segunda iteração ($\nu = 1$), tem-se:

$$\begin{cases} P_2 = -0,9960 \\ \Delta P_2 = -0,0040 \\ Q_2 = 0,0240 \\ \Delta Q_2 = -0,0240 \end{cases} \quad (2.10)$$

Como os mismatches ainda são maiores que a tolerância, atualiza-se o estado, incrementa-se $\nu = \nu + 1 = 2$. A nova matriz Jacobiana ficará com 2.11.

$$J = \begin{bmatrix} 19,2535 & 2,8560 \\ -4,8515 & 19,2781 \end{bmatrix} \quad (2.11)$$

Processo iterativo $\nu = 2$

Para a terceira iteração ($\nu = 2$), tem-se:

$$\begin{cases} P_2 = -1 \\ \Delta P_2 = 0 \\ Q_2 = 0 \\ \Delta Q_2 = 0 \end{cases} \quad (2.12)$$

Como os mismatches são menores que a tolerância, o método convergiu.

Calculo de E_2

Pela equação de potência na barra 2, tem-se 2.13.

$$S_1 = E_1 \cdot I_1^* = E_1 \cdot \left[\frac{1}{Z} \cdot (E_1 - E_2) \right]^* = 1.01 + j0,05 pu \quad (2.13)$$

Resumo das iterações está apresentando na tabela 2.1.

Tabela 2.1: Resumo das iterações da rede

| Iteração | E_2 | E_2 |
|----------|------------------|-----------------------|
| 0 | $1+j0$ | $1\angle 0^\circ$ |
| 1 | $1-j0,0494$ | $1\angle -2,84^\circ$ |
| 2 | $0,09988-0,0495$ | $1\angle -2,8^\circ$ |

2.1.2 Solução por software

Com os dados 2.1 é possível montar os *arrays* no código abaixo. Eles serão usados como *inputs* do código utilizado neste trabalho.

```
nome_da_rede = 'Rede de 2 barras e 1 ramos - Demonstração do Slide';
baseMVA      = 1 ; % MVA - Os dados do problema já estavam em pu
%Num-Tipo-V-Âng-Pg-Qg-Pc-Qc-bshk % (PU/Graus) - 3ref; 2PV; 0PQ
barras = [1 3 1.0112 0 0 0 00.0 0 0
           2 0 0.0000 0 0 0 -1.0 0 0 ];
ramos   = [1 2 0.01 0.05 0.0 1.0 0.0 ]; %De-Para-r-x-bshl-tap-fi
```

A saída dessa rede, calculado pelo algoritmo descrito no capítulo 3, é dado nos blocos de código a seguir. Nesse bloco temos a formação da matriz de admitância. É a mesma matriz calculada em 2.2, como esperado.

```
Y =
3.8462 -19.2308i -3.8462 +19.2308i
-3.8462 +19.2308i 3.8462 -19.2308i
G =
3.8462 -3.8462
-3.8462 3.8462
B =
-19.2308 19.2308
19.2308 -19.2308
```

As iterações e os mismatches estão no próximo bloco

```
> Iteração - 0
* Máximo mismatch P = 1.0431 (barra 0002)
* Máximo mismatch Q = 0.2154 (barra 0002)
> Iteração - 1
* Máximo mismatch P = -0.0268 (barra 0002)
* Máximo mismatch Q = -0.0291 (barra 0002)
> Iteração - 2
* Máximo mismatch P = -0.0000 (barra 0002)
* Máximo mismatch Q = -0.0001 (barra 0002)
```

Após 3 iterações, o método convergiu para solução com tolerância de $0,001pu$.

```
> Estado da rede
Barra Tipo      Mag      Fase      P      Q      Qsh
    1    3    1.0112    0.00   -0.9904  0.0480  0.0000
    2    0    1.0198    2.78    1.0000  0.0001  0.0000
> Fluxos de potência
De Para      Pkm      Qkm      Pmk      Qmk      Ploss      Qloss
    1    2   -0.9904  0.0480    1.0000  0.0001   0.0096  0.0481
> Tempo computacional = 0.0798 segundos.
```

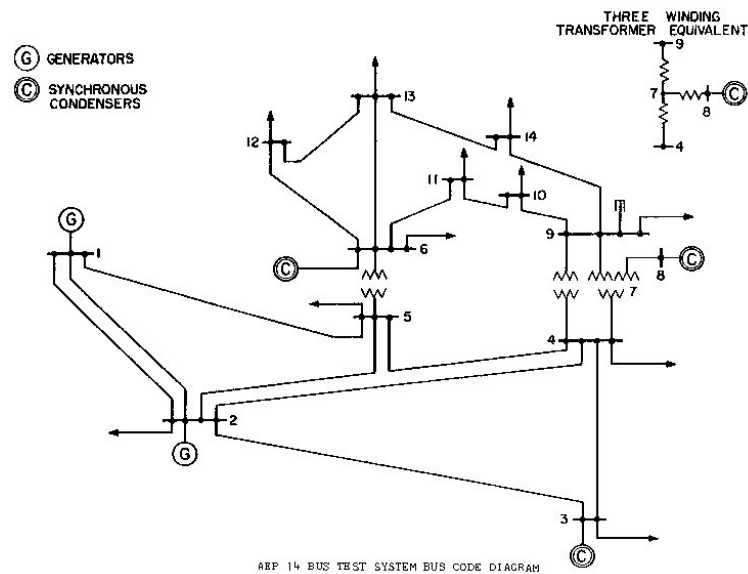
Note que na barra 2, a tensão está como calculado na tabela 2.1. $E_2 = 1\angle -2,8^\circ$.

2.2 Rede 14 bus IEEE

Considere uma rede de 14 barras e 20 ramos. Este exemplo consta no código de referência e também pode ser encontrado no endereço: https://labs.ece.uw.edu/pstca/pf14/pg_tca14bus.htm. Neste trabalho não haverá equacionamento manual desta rede pois seria muito extenso. Portanto, apresentaremos dados da simulação.

Na figura 2.2, há a figura do estudo de caso de rede 14 barras e 20 ramos do IEEE.

Figura 2.2: Rede de 14 barras IEEE



2.2.1 Entradas do software

Esta é a tabela de entradas com os parâmetros da rede, que foi disponibilizada pelo IEEE.

| | | | | | | | | | |
|---|---|---|------|------|------|------|-------|--------|------|
| nome_da_rede = '14 barras IEEE'; | | | | | | | | | |
| baseMVA = 1.0; %pneves já está dividido por 100 | | | | | | | | | |
| % | Número - Tipo - V - Ângulo - Pg - Qg - Pc - Qc - bshk | | | | | | | | |
| barras = [| 1 | 3 | 1.00 | 0.00 | 0.00 | 0.00 | 0.00 | 0.000 | 0.00 |
| | 2 | 2 | 1.00 | 0.00 | 0.00 | 0.00 | 0.217 | 0.127 | 0.00 |
| | 3 | 2 | 1.00 | 0.00 | 0.00 | 0.00 | 0.942 | 0.190 | 0.00 |
| | 4 | 0 | 1.00 | 0.00 | 0.00 | 0.00 | 0.478 | -0.039 | 0.00 |
| | 5 | 0 | 1.00 | 0.00 | 0.00 | 0.00 | 0.076 | 0.016 | 0.00 |
| | 6 | 2 | 1.00 | 0.00 | 0.00 | 0.00 | 0.112 | 0.075 | 0.00 |
| | 7 | 0 | 1.00 | 0.00 | 0.00 | 0.00 | 0.000 | 0.000 | 0.00 |
| | 8 | 2 | 1.00 | 0.00 | 0.00 | 0.00 | 0.000 | 0.000 | 0.00 |
| | 9 | 0 | 1.00 | 0.00 | 0.00 | 0.00 | 0.295 | 0.166 | 0.19 |

```

10  0  1.00  0.00  0.00  0.00  0.900  0.058  0.00
11  0  1.00  0.00  0.00  0.00  0.350  0.018  0.00
12  0  1.00  0.00  0.00  0.00  0.610  0.016  0.00
13  0  1.00  0.00  0.00  0.00  0.135  0.058  0.00
14  0  1.00  0.00  0.00  0.00  0.149  0.050  0.00];
%      De - Para - r - x - bshl - tap - fi
ramos=[1  5  0.05403  0.22304  0.0492  1.000  0.00
1  2  0.01938  0.05917  0.0528  1.000  0.00
2  5  0.05695  0.17388  0.0346  1.000  0.00
2  4  0.05811  0.17632  0.0340  1.000  0.00
2  3  0.04699  0.19797  0.0438  1.000  0.00
3  4  0.06701  0.17103  0.0000  1.000  0.00
4  5  0.01335  0.04211  0.0000  1.000  0.00
4  7  0.00000  0.20912  0.0000  1.000  0.00
4  9  0.00000  0.55618  0.0000  1.000  0.00
5  6  0.00000  0.25202  0.0000  1.000  0.00
6  12  0.12291  0.25581  0.0000  1.000  0.00
6  13  0.06615  0.13027  0.0000  1.000  0.00
6  11  0.09498  0.19890  0.0000  1.000  0.00
7  9  0.00000  0.11001  0.0000  1.000  0.00
7  8  0.00000  0.17615  0.0000  1.000  0.00
9  10  0.03181  0.08450  0.0000  1.000  0.00
9  14  0.12711  0.27038  0.0000  1.000  0.00
10  11  0.08205  0.19207  0.0000  1.000  0.00
12  13  0.22092  0.19988  0.0000  1.000  0.00
13  14  0.17093  0.34802  0.0000  1.000  0.00];

```

2.2.2 Solução por software

É possível notar que com tolerância = 0.000001pu, a rede convergiu para solução em 4 iterações, em 0.39s

```

> Relatório final
  Convergiu em 4 iterações
> Estado da rede
Barra Tipo      Mag  Fase      P      Q      Qsh
1  3      1.0000 -0.00      4.9041 -0.5519      0.0000
2  2      1.0000 -12.32     -0.2170  1.5340      0.0000
3  2      1.0000 -24.46     -0.9420  0.7185      0.0000

```


| | | | | | | |
|----|---|--------|--------|---------|---------|--------|
| 4 | 0 | 0.9301 | -23.23 | -0.4780 | 0.0390 | 0.0000 |
| 5 | 0 | 0.9300 | -20.79 | -0.0760 | -0.0160 | 0.0000 |
| 6 | 2 | 1.0000 | -41.97 | -0.1120 | 0.9492 | 0.0000 |
| 7 | 0 | 0.9434 | -34.85 | -0.0000 | 0.0000 | 0.0000 |
| 8 | 2 | 1.0000 | -34.85 | 0.0000 | 0.3212 | 0.0000 |
| 9 | 0 | 0.9304 | -40.93 | -0.2950 | -0.1660 | 0.1645 |
| 10 | 0 | 0.9014 | -46.00 | -0.9000 | -0.0580 | 0.0000 |
| 11 | 0 | 0.9289 | -46.05 | -0.3500 | -0.0180 | 0.0000 |
| 12 | 0 | 0.9206 | -47.88 | -0.6100 | -0.0160 | 0.0000 |
| 13 | 0 | 0.9593 | -44.41 | -0.1350 | -0.0580 | 0.0000 |
| 14 | 0 | 0.9225 | -43.72 | -0.1490 | -0.0500 | 0.0000 |

> Fluxos de potência

| De | Para | Pkm | Qkm | Pmk | Qmk | Ploss | Qloss |
|----|------|---------|---------|---------|---------|--------|--------|
| 1 | 5 | 1.5319 | 0.1897 | -1.4026 | 0.2981 | 0.1293 | 0.4878 |
| 1 | 2 | 3.3722 | -0.7416 | -3.1419 | 1.3920 | 0.2303 | 0.6503 |
| 2 | 5 | 0.8477 | 0.1660 | -0.8049 | -0.0675 | 0.0428 | 0.0985 |
| 2 | 4 | 1.0464 | 0.1297 | -0.9816 | 0.0355 | 0.0649 | 0.1652 |
| 2 | 3 | 1.0307 | -0.1537 | -0.9800 | 0.3236 | 0.0507 | 0.1700 |
| 3 | 4 | 0.0380 | 0.3949 | -0.0274 | -0.3680 | 0.0105 | 0.0269 |
| 4 | 5 | -0.7876 | 0.2713 | 0.7983 | -0.2375 | 0.0107 | 0.0338 |
| 4 | 7 | 0.8454 | 0.0269 | -0.8454 | 0.1460 | 0.0000 | 0.1729 |
| 4 | 9 | 0.4732 | 0.0733 | -0.4732 | 0.0741 | 0.0000 | 0.1474 |
| 5 | 6 | 1.3333 | -0.0091 | -1.3333 | 0.5271 | 0.0000 | 0.5180 |
| 6 | 12 | 0.4295 | 0.1233 | -0.4049 | -0.0722 | 0.0245 | 0.0511 |
| 6 | 13 | 0.3778 | 0.1271 | -0.3673 | -0.1064 | 0.0105 | 0.0207 |
| 6 | 11 | 0.4139 | 0.1717 | -0.3949 | -0.1317 | 0.0191 | 0.0399 |
| 7 | 9 | 0.8454 | 0.1570 | -0.8454 | -0.0656 | 0.0000 | 0.0914 |
| 7 | 8 | 0.0000 | -0.3030 | 0.0000 | 0.3212 | 0.0000 | 0.0182 |
| 9 | 10 | 0.8854 | 0.0242 | -0.8566 | 0.0524 | 0.0288 | 0.0766 |
| 9 | 14 | 0.1382 | -0.0342 | -0.1352 | 0.0406 | 0.0030 | 0.0063 |
| 10 | 11 | -0.0434 | -0.1104 | 0.0449 | 0.1137 | 0.0014 | 0.0033 |
| 12 | 13 | -0.2051 | 0.0562 | 0.2168 | -0.0456 | 0.0118 | 0.0107 |
| 13 | 14 | 0.0155 | 0.0940 | -0.0138 | -0.0906 | 0.0017 | 0.0034 |

> Tempo computacional = 0.3942 segundos.

Capítulo 3

Código comentado

Os códigos fonte desse trabalho bem como histórico de modificação, podem ser encontrados no endereço: <https://github.com/phneves/ElectricPowerSystemsAnalysisTools>.

3.1 Entradas e configurações

Iniciamos com limpeza das variáveis no *workspace* e da tela. Também há configurações do script.

```
clear all;
clc;
tol = 0.00001;
% Arquivo de dados da rede
%P2GTD
RedePequena
graf = 'nao'; % Mostrar graficos ao final do cálculo
itmax = 20; % Número máximo de iterações permitido
% Tensões mínima e máxima permitidas
vmin = 0.0;
vmax = 2.0;
% Considerar cargas dependentes da tensão?
% 'nao' -> modelo de pot cte. 'sim' -> ModeloCarga deve ser especificado
cargasV = 'nao';
graus_to_rad = pi/180; % Conversão graus <-> radianos
rad_to_graus = 180/pi;
Debug = true; %pneves: Enable debug prints.
```

Carrega-se então, os valores da rede nas variáveis apropriadas. Vetores receberão dados das barras.

```
%Número - Tipo - V - Ângulo - Pg - Qg - Pc - Qc - bshk
for k = 1:nb %pneves: extracting bar values into arrays
    numext(k) = barras(k,1);
    tipo(k)   = barras(k,2);
    v(k)      = barras(k,3);
    ang(k)    = barras(k,4) * graus_to_rad;
    pg(k)     = barras(k,5)/baseMVA; %pneves: PU
    qg(k)     = barras(k,6)/baseMVA;
    pc(k)     = barras(k,7)/baseMVA;
    qc(k)     = barras(k,8)/baseMVA;
    bshk(k)   = barras(k,9)/baseMVA;
    pnom(k)   = pg(k) - pc(k); %pneves: P liquido
    qnom(k)   = qg(k) - qc(k); %pneves: Q liquido
    numint(barras(k,1)) = k;
end
```

Vetores receberão dados dos ramos.

```
for l = 1:nr % Carregamento dos vetores de ramo
    de(l) = ramos(l,1);
    para(l) = ramos(l,2);
    r(l) = ramos(l,3);
    x(l) = ramos(l,4);
    bshl(l) = ramos(l,5)/2.; %shunt aqui é dividido por 2
    tap(l) = ramos(l,6);
    fi(l) = 0; %- ramos(l,7) * graus_to_rad;
end
fprintf('\n> Modelo de carga: potência constante (default).\n')
```

Neste ponto do código, será criada a matriz de admitância. A regra de formação dessa matriz está descrita em 1.10 e 1.11.

```
%pneves: Matriz Y dimensionada para NBxNB
Y = zeros(nb,nb);
for k = 1:nb
    Y(k,k) = i*bshk(k); %pneves: Cada Y(k,k) recebe 0+i*shunt
end
```

Preenchimento da matriz admitância.

```
for l = 1:nr %pneves: As formulas de formação da matriz
    k = de(l)%estão no Tópico Matriz de Admitância
    m = para(l)
    y(l) = 1/(r(l) + i*x(l))
    akk(l) = 1/(tap(l)*tap(l))
    amm(l) = 1.0
    akm(l) = 1/tap(l)
    Y(k,k) = Y(k,k) + akk(l)*y(l) + i*bshl(l)
    Y(m,m) = Y(m,m) + amm(l)*y(l) + i*bshl(l)
    Y(k,m) = Y(k,m) - akm(l)*y(l)
    Y(m,k) = Y(m,k) - akm(l)*y(l)
end
G = real(Y); %pneves: matriz de condutância
B = imag(Y); %pneves: matriz de susceptância
if (Debug == true) %pneves: Debug
    fprintf('DEBUG> Y, G and B complete\n');
    Y
    G
    B
end
```

Aqui será definido o estado inicial da rede, com $V = 1$ PU para barras PQ , com $\theta = 0$ para barras PQ e PV . O chamado *Flat guess*.

```
for k = 1:nb
    if tipo(k) ~= 3
        ang(k) = 0.0;
        if tipo(k) < 2
            v(k) = 1.0;
        end
    end
end
```

3.2 Subsistema 1 - Iterativo

Calcula-se as Potências nodais.

$p_{calc}(k)$ e $q_{calc}(k)$ são calculados para cada barra. Eles serão usados nos calculos de H_{kk} , N_{kk} ,

M_{kk} e L_{kk} , submatrizes da matriz Jacobiana 1.21.

```

iter = 0;           %           Inicializar contador de iterações
maxDP = 10^5;      %           Inicializar maiores mismatches
maxDQ = 10^5;
while abs(maxDP) > tol | abs(maxDQ) > tol %           Processo iterativo
    %Cálculo das potências nodais
    for k = 1:nb
        pcalc(k) = G(k,k)*v(k)*v(k);
        qcalc(k) = -B(k,k)*v(k)*v(k);
    end
    for l = 1:nr
        k = de(l);
        m = para(l);
        ab = ang(k) - ang(m) + fi(l);
        gkm = akm(l)*real(y(l));
        bkm = akm(l)*imag(y(l));
        pcalc(k) = pcalc(k) + v(k)*v(m)*(-gkm*cos(ab)-bkm*sin(ab));
        pcalc(m) = pcalc(m) + v(k)*v(m)*(-gkm*cos(ab)+bkm*sin(ab));
        qcalc(k) = qcalc(k) + v(k)*v(m)*(-gkm*sin(ab)+bkm*cos(ab));
        qcalc(m) = qcalc(m) - v(k)*v(m)*(-gkm*sin(ab)-bkm*cos(ab));
    end
end

```

As equações de $pcalc(k)$ (bloco de código acima) são termos somatórios descritas nas equações 1.27, 1.28, 1.29 e 1.30.

No bloco de código abaixo, tem-se o cálculo dos *mismatches* de potência (P e Q).

$$\begin{cases} DP(k) = p_{esp}(k) - p_{calc}(k) \\ DQ(k) = q_{esp}(k) - q_{calc}(k) \end{cases} \quad (3.1)$$

As equações descritas em 3.1 são as diferenças entre as potências esperadas e as calculadas, respectivamente para P e Q.

Esses valores serão os novos ΔP e ΔQ , como descrito na equação 1.20.

No bloco subsequente, a variável de controle do número de iteração é incrementada. Neste algoritmo, v está descrito como *iter*.

O vetor DS é montado.

```
%Cálculo dos mismatches de potência
```

```
DP = zeros(nb,1);
DQ = zeros(nb,1);
maxDP = 0;
maxDQ = 0;
busDP = 0;
busDQ = 0;
for k = 1:nb
    pesp(k) = pnom(k);
    qesp(k) = qnom(k);
    if tipo(k) ~= 3
        DP(k) = pesp(k) - pcalc(k);
        if abs(DP(k)) > abs(maxDP)
            maxDP = DP(k);
            busDP = numext(k);
        end
    end
    if tipo(k) <= 1
        DQ(k) = qesp(k) - qcalc(k);
        if abs(DQ(k)) > abs(maxDQ)
            maxDQ = DQ(k);
            busDQ = numext(k);
        end
    end
end
end
```

```
iteracao(iter+1) = iter;
mismP(iter+1) = abs(maxDP);
mismQ(iter+1) = abs(maxDQ);

DS = [ DP ; DQ ];

fprintf('\n> Iteração - %d\n',iter)
fprintf('* Máximo mismatch P = %06.4f (barra %04d)\n',maxDP,busDP)
fprintf('* Máximo mismatch Q = %06.4f (barra %04d)\n',maxDQ,busDQ)
```

Caso o *mismatch* seja maior que a tolerância, a matriz Jacobiana será montada e o estado será atualizado.

```

if abs(maxDP) > tol | abs(maxDQ) > tol
    %           Montar e inverter a matriz Jacobiana
    H = zeros(nb,nb); M=H; N=H; L=H;
    for k = 1:nb
        H(k,k) = -qcalc(k) - v(k)*v(k)*B(k,k);
        if tipo(k) == 3
            H(k,k) = 10^10;
        end
        N(k,k) = ( pcalc(k) + v(k)*v(k)*G(k,k) )/v(k) ;
        M(k,k) = pcalc(k) - v(k)*v(k)*G(k,k);
        L(k,k) = ( qcalc(k) - v(k)*v(k)*B(k,k) )/v(k) ;
        if tipo(k) >= 2
            L(k,k) = 10^10;
        end
    end
end
for l = 1 : nr,
    k = de(l) ;
    m = para(l) ;
    ab = ang(k) - ang(m) + fi(l) ;

    H(k,m) = v(k)*v(m)*( G(k,m)*sin(ab)-B(k,m)*cos(ab)) ;
    H(m,k) = v(k)*v(m)*(-G(k,m)*sin(ab)-B(k,m)*cos(ab)) ;
    N(k,m) = v(k)*( G(k,m)*cos(ab)+B(k,m)*sin(ab)) ;
    N(m,k) = v(m)*( G(k,m)*cos(ab)-B(k,m)*sin(ab)) ;
    M(k,m) = - v(k)*v(m)*( G(k,m)*cos(ab)+B(k,m)*sin(ab)) ;
    M(m,k) = - v(k)*v(m)*( G(k,m)*cos(ab)-B(k,m)*sin(ab)) ;
    L(k,m) = v(k)*( G(k,m)*sin(ab)-B(k,m)*cos(ab)) ;
    L(m,k) = - v(m)*( G(k,m)*sin(ab)+B(k,m)*cos(ab)) ;

end
J = [ H N ; M L ];
%           Calcular o vetor de correção de estado
DV = inv(J)*DS;
%           Atualizar estado
v = v + DV(nb+1:2*nb)';
ang = ang + DV(1:nb)';

```

Verifica-se se há divergência, ou seja, se o método está caminhando para uma resposta.

```
%          Verificar se houve divergência
for k = 1:nb
    if v(k) < vmin | v(k) > vmax
        fprintf('\n> Tensões fora dos limites ->
        divergência.\n')
        fprintf('> Execução interrompida.\n\n')
        if graf == 'sim'
            graficos
        end
        msgbox('Tensões fora dos limites -> divergência.
        Execução interrompida.', 'Aviso', 'warn');
        return
    end
end
```

Verifica-se se o método excedeu o número de iterações máximas.

```
%          Incrementar contador de iterações

iter = iter + 1;

if iter > itmax
    fprintf('\n> Número máximo de iterações permitido foi
    excedido.\n')
    fprintf('> Execução interrompida.\n\n')
    if graf == 'sim'
        graficos
    end
    msgbox('Número máximo de iterações permitido foi
    excedido. Execução interrompida.', 'Aviso', 'warn');
    return
end
end
end          % final do while
```


3.3 Subsistema 2 - Cálculo de P_k e Q_k

Neste ponto, o software já fez todos os cálculos e se saiu do laço de repetição *while*, então ele convergiu para resposta.

As potências serão recalculadas com os valores finais para gerar o relatório.

```
%%  
%'Fim do cálculo de fluxo de carga. Preparando relatório de saída');  
fprintf('\n> Fim do cálculo de fluxo de carga.  
Preparando relatório de saída ...\n')
```

Será calculada as potências nodais.

```
%          Cálculo das potências nodais  
for k = 1:nb  
    pcalc(k) = G(k,k)*v(k)*v(k);  
    qcalc(k) = -B(k,k)*v(k)*v(k);  
end  
for l = 1:nr  
    k = de(l);  
    m = para(l);  
    ab = ang(k) - ang(m) + fi(l);  
    gkm = akm(l)*real(y(l));  
    bkm = akm(l)*imag(y(l));  
    pcalc(k) = pcalc(k) + v(k)*v(m)*(-gkm*cos(ab)-bkm*sin(ab));  
    pcalc(m) = pcalc(m) + v(k)*v(m)*(-gkm*cos(ab)+bkm*sin(ab));  
    qcalc(k) = qcalc(k) + v(k)*v(m)*(-gkm*sin(ab)+bkm*cos(ab));  
    qcalc(m) = qcalc(m) - v(k)*v(m)*(-gkm*sin(ab)-bkm*cos(ab));  
end
```

Será calculado o fluxo de potência nos ramos

```
%          Cálculo dos fluxos de potência nos ramos  
for l = 1:nr  
    k = de(l);  
    m = para(l);  
    gkm = real(y(l));  
    bkm = imag(y(l));  
    ab = ang(k) - ang(m) + fi(l);  
    vkm = v(k)*v(m);
```

```

pkm(1) = akk(1)*v(k)*v(k)*gkm -
        akm(1)*vkm*(gkm*cos(ab)+bkm*sin(ab));
pmk(1) = amm(1)*v(m)*v(m)*gkm -
        akm(1)*vkm*(gkm*cos(ab)-bkm*sin(ab));
qkm(1) = -akk(1)*v(k)*v(k)*(bkm+bshl(1)) +
        akm(1)*vkm*(bkm*cos(ab)-gkm*sin(ab));
qmk(1) = -amm(1)*v(m)*v(m)*(bkm+bshl(1)) +
        akm(1)*vkm*(bkm*cos(ab)+gkm*sin(ab));
pperdas(1) = pkm(1) + pmk(1);
qperdas(1) = qkm(1) + qmk(1);
end

```

Apresentação do relatório final.

```

fprintf('\n\n> Relatório final\n\n') %           Relatório final
fprintf('  Convergiu em %d iterações\n\n',iter)
fprintf('> Estado da rede\n\n')
fprintf('  Barra Tipo   Mag Fase    P    Q    Qsh\n')
for k = 1:nb
    fprintf('%7d %4d %9.4f %6.2f %9.4f %7.4f %9.4f \n',
        numext(k),tipo(k),v(k),(ang(k)*rad_to_graus),pcalc(k),
        qcalc(k), bshk(k)*v(k)^2)
end
fprintf('\n\n> Fluxos de potência\n\n')
fprintf('  De Para    Pkm   Qkm   Pmk   Qmk Ploss   Qloss\n')
for l = 1:nr
    fprintf('%7d %4d %9.4f %7.4f %9.4f %7.4f %9.4f %7.4f\n',
        de(l),para(l),pkm(l),qkm(l),pmk(l),qmk(l),pperdas(l),qperdas(l))
end
if graf == 'sim'
    graficos
end
tempo = toc; % terminando contagem de tempo computacional
fprintf('\n\n> Tempo computacional = %7.4f segundos.',tempo)
fprintf('\n\n> Fim da simulação.\n\n')

```

Capítulo 4

Discussões e análise de resultados

4.1 Composição do trabalho

Foi abordado neste trabalho uma introdução à teoria de Fluxo de Potência e um dos métodos de resolução bastante importante, o método de Newton. Ainda que sem muitas demonstrações matemáticas, todas as equações que geram o modelo matemático e os passos necessários para alimentar o método de resolução estão descritas podem ser vistas nos tópicos 1.1, 1.2 e 1.3.

Já no capítulo 2, pôde-se colocar as equações supracitadas em prática. Utilizando redes de referência, foi possível comparar e validar seus resultados. Foi utilizado um modelo de rede bastante pequeno no início, apenas duas barras e um ramo (2.1) e todo o passo a passo foi verificado. A rede convergiu em 3 iterações e levou 0,0798s

Outra rede verificada, foi a de 14 barras e 20 ramos 2.2. Neste estudo não houve equacionamento por ser, praticamente, inviável calcular manualmente. A simulação convergiu após 4 iterações e levou 0,3942s.

4.2 Performance

Comparando-se os dois casos, é notório que, com os aumentos de ramos e barras, a solução demorará mais para convergir. Ainda que nesse exemplo haja diferenças na tolerância da convergência, pode-se comprovar que com redes maiores, esse método apenas não trará resultados em prazos apropriados, ainda que a convergência aconteça.

Lembrando que a comparação de performance aconteceu apenas temporalmente, pois a tolerância foi fixada previamente.

4.3 Trabalhos futuros

Nos trabalhos futuros, ainda nesta disciplina, será importante comparar dois fatores com os próximos métodos, o primeiro e bastante abordado aqui: o tempo de convergência e o número de interações.

Ainda pode-se abordar a acurácia e robustês de cada solução. Basicamente, é necessário responder à seguinte pergunta: caso o palpite de solução inicial seja diferente do *flat initial guess*, o método ainda apresenta convergência?

Referências bibliográficas

CASTRO, P. D. C. A. **Cálculo de Fluxo de Carga**. Campinas-SP: [s.n.], Consultado em 05/2020. Disponível em: <<http://www.dsee.fee.unicamp.br/~ccastro/>>.

MONTICELLI, A. J. **Fluxo de carga em redes de energia elétrica**. 1. ed. São Paulo: Editora Edgard Blücher Ltda, 1983. ISBN 978-3-8417-2506-6.

UFRGS. **Método de Newton-Raphson**. Porto Alegre RS: [s.n.], Consultado em 05/2020. Disponível em:
<https://www.ufrgs.br/reatmat/CalculoNumerico/livro-sci/sdeduv-metodo_de_newton-raphson.html>.